

даться признаки ухудшения гемодинамики малого круга. При назначении ветразина, который уменьшает спазм легочных артериол, можно ожидать устранения этого неблагоприятного действия сердечных глюкозидов. И действительно, ожидаемый эффект был достигнут. В результате применения сердечных глюкозидов у лиц с декомпенсированным легочным сердцем в обеих группах постепенно исчезли признаки недостаточности кровообращения. Но в контрольной группе это произошло на фоне увеличения амплитуды «легочных» зубцов Р, указывающего на ухудшение гемодинамики в малом круге, а в основной группе — на фоне снижения амплитуды «легочных» зубцов Р, свидетельствующего об улучшении гемодинамики в малом круге. Отсюда следует, что лечение декомпенсированного легочного сердца сердечными глюкозидами в комбинации с ветразином протекает в более благоприятных условиях, чем при лечении одними только глюкозидами, сопровождается улучшением кровообращения как в большом, так и в малом круге. Если еще учесть результаты экспериментальных исследований [1, 2], согласно которым ветразин улучшает работу сердца в условиях гипоксии, усиливает кардиотоническое действие и уменьшает кардиотоксическое действие сердечных глюкозидов, то комбинацию последних с ветразином следует считать вполне рациональной для лечения декомпенсированного легочного сердца.

Отдаленные результаты лечения мы смогли проследить у 11 больных основной группы, поступивших повторно на стационарное лечение в клинику через 3—18 мес после первого курса терапии ветразином. Лечебный эффект от ветразина по данным ЭКГ сохранился у 4 больных, у которых была стойкая ремиссия инфекционно-воспалительного процесса в легких. У остальных 7 больных, поступивших в клинику в состоянии обострения легочного заболевания, ЭКГ вернулась к исходной. Это указывает на то, что для сохранения лечебного эффекта после применения ветразина особенно важно предупреждать обострения воспалительного процесса в легких.

Таким образом, включение ветразина в комплекс лечения легочного сердца дает выраженный эффект. Препарат хорошо переносится больными и не вызывает отрицательных побочных реакций. Пероральный способ приема ветразина облегчает широкое его применение в условиях врачебной практики. Положительный лечебный эффект более стойкий и значителен при компенсированном легочном сердце. При декомпенсированном легочном сердце комбинация ветразина с сердечными глюкозидами более рациональна, чем лечение одними только глюкозидами, так как ветразин способствует уменьшению неблагоприятного действия глюкозидов на гемодинамику малого круга.

#### ЛИТЕРАТУРА

1. Аммар Э. А., Кудрин А. Н. Кардиология, 1972, 6.—2. Жуков В. А., Кудрин А. Н. Кардиология, 1969, 12.—3. Казанов А. Т. Патологическая анатомия и вопросы патогенеза легочного сердца. Л., Медицина, 1971.—4. Коган Б. Б., Злочевский П. М. Тер. арх., 1968, 8.—5. Коробейник Б. К., Резник Н. Д. В кн.: Актуальные вопросы гигиены труда и профпатологии в некоторых отраслях химической промышленности. М., 1978.—6. Сигилин Я. А., Цветкова Е. С. Тер. арх., 1977, 11.—7. Шершевский Б. М. Кровообращение в малом круге. М., Медицина, 1970.

Поступила 8 апреля 1980 г.

УДК 616.124—007.61—073.97

## СРАВНИТЕЛЬНАЯ ОЦЕНКА КОРРИГИРОВАННЫХ ОРТОГОНАЛЬНЫХ И 12 ОБЫЧНЫХ ОТВЕДЕНИЙ ЭКГ В ДИАГНОСТИКЕ ГИПЕРТРОФИИ ЖЕЛУДОЧКОВ СЕРДЦА У ДЕТЕЙ

Л. А. Чучелина

Кафедра функциональной диагностики (зав.—доктор мед. наук Э. А. Озол) Казанского ГИДУВа им. В. И. Ленина, кафедра госпитальной хирургии № 2 (зав.—проф. Н. П. Медведев) Казанского ордена Трудового Красного Знамени медицинского института им. С. В. Курашова, 6-я городская клиническая больница г. Казани (главврач — В. И. Зайцев)

**Р е ф е р а т.** С применением корригированных ортогональных отведений ЭКГ системы Франка и 12 обычных отведений обследованы 525 детей: 300 здоровых, 125 с пороками сердца, ведущими к гипертрофии правого желудочка, и 100 с пороками, ведущими к гипертрофии левого желудочка. Разработаны критерии диагности

ки гипертрофии правого и левого желудочков сердца у детей 3—7 и 8—15 лет. Сопоставительный анализ результатов свидетельствует о более высокой чувствительности системы Франка по сравнению с 12 обычными отведениями при выявлении гипертрофии левого желудочка у детей.

Ключевые слова: гипертрофия желудочков, ЭКГ, корригированные ортогональные отведения.

2 иллюстрации. 2 таблицы. Библиография: 4 названия.

В последние годы в ряде работ показано, что корригированные ортогональные отведения ЭКГ, основанные на строгих физических принципах, более информативны в диагностике гипертрофии желудочек у взрослых, чем 12 обычных отведений. Что касается оценки информативности ортогональных отведений в выявлении гипертрофии желудочек у детей, мы встретили лишь две посвященные этому вопросу публикации [3, 4], причем они основаны на очень небольшом материале (25 и 30 больных), и практически критерии гипертрофии правого и левого желудочек сердца в ортогональной электрокардиографии (ОЭКГ) еще не разработаны.

Целью данного исследования являлась разработка критериев диагностики гипертрофии правого желудочка (ГПЖ) и гипертрофии левого желудочка (ГЛЖ) с помощью КОО у детей, а также сравнение информативности корригированных ортогональных отведений и 12 общепринятых.

Нами обследовано 125 больных детей с врожденными и приобретенными пороками сердца, ведущими к ГПЖ, и 100 детей с пороками, ведущими к ГЛЖ. Все больные были разделены на две возрастные группы: от 3 до 7 лет (50 детей с пороками, ведущими к ГПЖ, и 50 детей с пороками, ведущими к ГЛЖ) и от 8 до 15 лет (75 детей с пороками, ведущими к ГПЖ, и 50 детей с пороками, ведущими к ГЛЖ). Контрольную группу составили 300 здоровых детей (100 в возрасте от 3 до 7 лет и 200 — от 8 до 15 лет).

Среди 125 детей с пороками, ведущими к ГПЖ, было 47 с дефектом межпредсердной перегородки (ДМПП), 3 с ДМПП в сочетании с аномальным впадением легочных вен, 1 с аномальным впадением легочных вен, 1 с врожденной аномалией трехстворчатого клапана, ведущей к его недостаточности, 19 с изолированным врожденным стенозом устья легочной артерии, 11 с триадой Фалло, 30 с тетрадой Фалло, 3 с пентадой Фалло, 1 с первичной легочной гипертензией и 9 с митральным стенозом ревматической этиологии. У 112 детей было проведено зондирование правых полостей и ствола легочной артерии; у 82 пациентов диагноз получил подтверждение на операции, в 4 случаях — на вскрытии.

Среди 100 детей с пороками сердца, ведущими к гипертрофии левого желудочка, было 20 с врожденным стенозом устья аорты, 23 с коарктацией аорты, 2 с изолированной недостаточностью аортального клапана ревматической этиологии, 2 с комбинированным аортальным пороком ревматической этиологии и 53 с открытым артериальным пороком без клинических признаков гипертензии в системе малого круга кровообращения. У 61 ребенка диагноз подтвержден на операции, в 3 случаях — секционными данными.

Для регистрации были использованы корригированные ортогональные отведения системы Франка. В этой системе электроды накладывают на шею, левую ногу, в пяти точках туловища на уровне 4-го межреберья: в области передней и задней средних линий, правой и левой среднеподмышленных линий и посередине между передней средней и левой среднеподмышленной линиями.

Как и любая другая ортогональная система, система Франка регистрирует горизонтальное отведение — X, вертикальное — Y и сагиттальное — Z. Отведение Z регистрировалось с обратной полярностью. Кроме того, регистрировалась ЭКГ в 12 обычных отведениях. Помимо обычных методов анализа ОЭКГ, мы определяли следующие дополнительные показатели, разработанные Э. А. Озолом (1972):

- 1) сумму зубцов  $R_x + S_y, R_x + S_z, R_x - S_y + S_z, S_x + R_y, S_x + R_z (+R'z), S_x + R_y + R_z (+R'z);$
- 2) индексы  $\frac{R_x + S_y}{S_x + R_y}, \frac{R_x + S_z}{S_x + R_z (+R'z)}, \frac{R_x - S_y + S_z}{S_x + R_y + R_z (+R'z)}$ .

Для диагностики ГПЖ и ГЛЖ в обычных отведениях были использованы критерии, разработанные Г. Е. Середой (1973).

Изучение ОЭКГ детей с пороками сердца, ведущими к гипертрофии правого желудочка, и с пороками сердца, ведущими к гипертрофии левого желудочка, в сопоставлении с ОЭКГ здоровых детей соответствующих возрастных групп дало возможность определить признаки ГПЖ и ГЛЖ для каждой из двух групп (см. табл. 1 и 2). Различия между количественными показателями при ГПЖ и в норме, а также при ГЛЖ и в норме оказались существенными ( $P < 0,001$ ).

Для электрокардиографической диагностики гипертрофии желудочков у детей с помощью 12 отведений Г. Е. Середа (1973) считает достаточным наличие в каждом отдельном случае 4 признаков (2 основных и 2 дополнительных). Для диагностики гипертрофии желудочков с помощью КОО мы брали также не менее 4 признаков, считая их все основными, поскольку одним из важнейших свойств КОО является то, что величина сердечных потенциалов, зарегистрированных с их помощью, не зависит

Таблица 1

**Критерии гипертрофии правого желудочка в ОЭКГ и частота их регистрации у детей с пороками сердца, ведущими к ГПЖ**

Показатели	Возраст			
	3—7 лет		8—15 лет	
величина по- казателя	частота реги- страции, %	величина по- казателя	частота реги- страции, %	
Амплитуда $R_x$ , мм . . . . .	<5	18	<5	24
Амплитуда $R_z$ , мм . . . . .	>18	30	>15	32
Амплитуда $S_x$ , мм . . . . .	>10	72	>7	73
Амплитуда $S_z$ , мм . . . . .	<5	48	<4	36
$R'z$ . . . . .	—	40	—	28
$\frac{R_x}{S_x}$ . . . . .	<1,6	84	<1,25	65
$R_z (+ R'z)$ . . . . .	>2	60	>1,71	47
$S_z$				
Время внутреннеподобного откло- нения в отведении $Z$ , с . . . . .	>0,03	38	>0,03	49
$R_x + S_z$ , мм . . . . .	<14	40	<10	16
$S_x + R_z (+ R'z)$ , мм . . . . .	>22	78	>18	65
$R_x + S_y$ . . . . .	<0,48	54	<0,38	20
$S_x + R_y$ . . . . .	<1,19	86	<1,0	69
$R_x + S_z$ . . . . .	<0,5	48	<0,5	36
$S_x + R_z (+ R'z)$ . . . . .	>90	76	>90	63
$S_x + R_y + R_z (+ R'z)$ . . . . .	>0,5	22	>0,5	19
$\angle \alpha$ фронтальной плоскости, ° . . . . .	2	44	2	22
Снижение сегмента $ST$ в отведе- ниях $Z$ ниже изолинии, мм . . . . .				
$T_z$ отрицательное, мм . . . . .				

Таблица 2

**Критерии гипертрофии левого желудочка в ЭКГ и частота их регистрации у детей с пороками сердца, ведущими к ГЛЖ**

Показатели	Возраст			
	3—7 лет		8—15 лет	
величина по- казателя	частота реги- страции, %	величина по- казателя	частота реги- страции, %	
Амплитуда $R_x$ , мм . . . . .	>18	34	>22	30
Амплитуда $S_x$ , мм . . . . .	>18	30	>15	38
$R_x + S_y$ , мм . . . . .	>21	30	>23,5	22
$R_x + S_z$ , мм . . . . .	>31	50	>29	60
$R_x + S_y + S_z$ , мм . . . . .	>31	50	>32	56
$R_x + S_z$ . . . . .	>3,13	18	>4	30
$S_x + R_z (+ R'z)$ . . . . .				
Время внутреннеподобного откло- нения в отведении $X$ , с . . . . .	>0,035	26	>0,04	36
Снижение сегмента $ST$ ниже изо- линии, мм . . . . .	>0,5	6	>0,5	16
$T_x$ отрицательный или двухфаз- ный . . . . .		2		6
$\frac{R_x}{T_x}$ . . . . .	>12	6	>7	24

от ряда преходящих физических факторов (формы тела, собственного сопротивления среды, позиции сердца и др.), как это наблюдается в любой другой некорригированной системе. При таком условии сравнения информативности двух систем мы обнаружили гипертрофию правого желудочка с помощью КОО у 47 из 50 больных детей

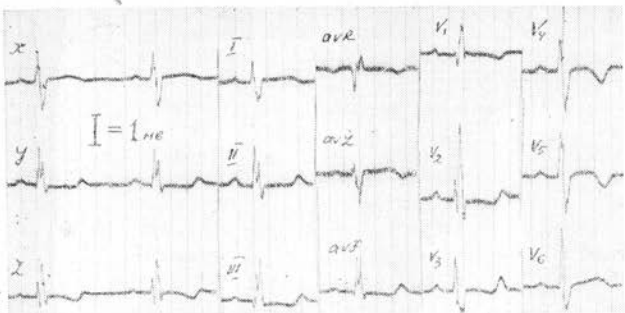


Рис. 1. ЭКГ Наташи Б., 9 лет. Диагноз: дефект межпредсердной перегородки (подтверждено на операции). Объяснение в тексте.

помощью 12 обычных отведений — у 8 (16%), во второй возрастной группе у 26 из 50 (52%) и у 24 (48%). Сочетание трех КОО с двумя грудными  $V_1$  и  $V_5$  позволило выявить ГЛЖ у 18 детей 3—7 лет (36%) и у 29 детей 8—15 лет (58%).

Таким образом, в той и в другой системе отведений ГПЖ выявляется чаще, чем ГЛЖ. Это можно объяснить относительным физиологическим преобладанием правого желудочка у детей, особенно выраженным в младшем возрасте.

Почему КОО в диагностике ГЛЖ оказались более информативными, чем 12 обычных отведений, а в диагностике ГПЖ менее информативными? Мы считаем возможным дать следующее объяснение: в 12 традиционных отведениях для диагностики гипертрофии правого желудочка большое значение имеет отведение  $V_1$ , которое часто не находит отражения в КОО. Весьма важные для диагностики гипертрофии левого желудочка отведения  $V_5$  и  $V_6$ , как правило, находят отражение в КОО (в отведении X или Y). Кроме того, большую дополнительную информацию несет отведение Z, улавливающее потенциалы левого желудочка в сагittalной плоскости, особенно при поворотах сердца верхушкой кзади. На рис. 1 представлена ЭКГ Наташи Б., 9 лет. Диагноз: вторичный дефект межпредсердной перегородки, подтвержденный на операции. В КОО зарегистрированы следующие признаки ГПЖ:  $R_x = 11$  мм,  $R'_z = 11$  мм,  $R_z + S_z = 27$  мм,  $\frac{R_x + S_z}{S_x + R_z + R'_z} = 0,55$ ,

$$BVO = 0,04 \text{ c}, \frac{R_x}{S_x} = 11,1, \frac{R_z + R'_z}{S_z} = 3,4, S_x + R_z + R'_z = 27 \text{ мм}, \frac{R_x + S_z}{S_x + R_z + R'_z} = 0,55,$$

$$\frac{R_x + S_v + S_z}{R_y + R_z + R'_z} = 0,38; \text{ в 12 обычных отведениях — 6 основных признаков ГПЖ.}$$

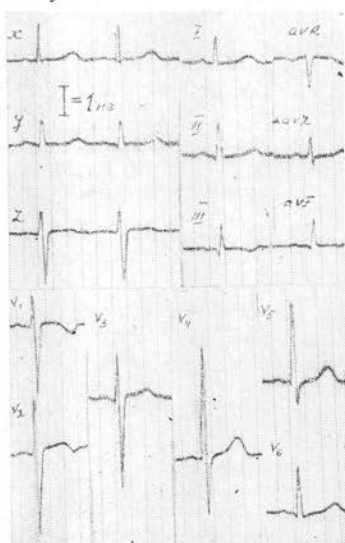


Рис. 2. ЭКГ Наташи К., 4 лет. Диагноз: врожденный стеноз устья аорты. Объяснение в тексте.

младшей возрастной группы, т. е. в 94%, а с помощью 12 отведений — у всех 50, т. е. в 100%. В старшей возрастной группе ГПЖ была выявлена при помощи КОО до 100% в первой и до (77,3%), а с помощью 12 отведений — у 71 из 75 (94,7%). Сочетание КОО с двумя грудными  $V_1$  и  $V_5$  повышало информативность КОО до 100% в первой и до 94,7% во второй возрастных группах.

ГЛЖ в первой возрастной группе установлена с помощью КОО у 16 из 50 больных детей (32%), а с

Рис. 2 иллюстрирует ЭКГ Наташи К., 4 лет. Диагноз: врожденный стеноз устья аорты. В КОО выявлены следующие признаки гипертрофии левого желудочка:  $S_v = 19$  мм,  $R_x + S_z = 32$  мм,  $R_x + S_y + S_z = 32$  мм,  $\frac{R_x + S_z}{S_x + R_z} = 3,44$ ;

в 12 обычных отведениях — один основной  $S_{V5} : S_{V6} = 16$  и 6 дополнительных признаков.

Итак, результаты исследования показали, что КОО обладают высокой степенью информативности в диагностике гипертрофии желудочков сердца у детей. В диагностике ГЛЖ они значительно превосходят общепринятые. Сочетание КОО с отведениями  $V_1$  и  $V_5$  позволяет диагностировать ГПЖ с такой же частотой, как и 12 обычных отведений, а при диагностике ГЛЖ оно увеличивает процент выявления гипертрофии левого желудочка еще на 6% по сравнению с КОО и на 10% по сравнению с общепринятыми отведениями.

Сокращение программы исследования с 12 отведений до 5 дает преимущества в диагностике гипертрофии сердца, экономит время и материал. Кроме того, меньшее количество отведений более удобно для автоматического анализа ЭКГ при помощи электронно-вычислительных машин.

## ЛИТЕРАТУРА

1. Озол Э. А. Корrigированные ортогональные отведения электрокардиограммы в анализе биоэлектрической активности сердца. Автореф. докт. дисс., Казань, 1972.—2. Середа Г. Е. Электрокардиографические критерии гипертрофии желудочков при пороках сердца у детей. Автореф. канд. дисс., М., 1973.—3. Мумджиев Н. Х. (Болгария). Сравнительна оценка на обычайната и ортогоналната электрокардиографиски системи приложени при деца-здрави ис камерно обременяване. Автореф. на дис., труд за присъаждане на научно степен «кандидат медицинските науки». Пловдив, 1975.—4. Shakibi J. G., Siassi B., Aguapriug J., Paydar M. J. *Electrocardiol.*, 1976, 9, 1.

Поступила 16 декабря 1980 г.

УДК 616—002.77

## ОСОБЕННОСТИ ТЕЧЕНИЯ СОВРЕМЕННОГО РЕВМАТИЗМА

*В. А. Николаева, Л. Ф. Балтина, Л. В. Анисимова, А. Г. Ямилова*

*Кафедра госпитальной терапии (зав.—проф. Л. А. Лещинский) Ижевского медицинского института*

**Р е ф е р а т.** Проанализированы истории болезни 360 больных ревматизмом. Описаны варианты клинического течения первичного и возвратного ревматизма. Ввиду большой частоты латентного и олигосимптомного ревматизма обращено внимание на трудности диагностики первичного ревматизма, протекающего по кардиальному типу, что часто является причиной его поздней диагностики.

**Ключевые слова:** ревматизм, суставной синдром, латентное течение.

1 таблица. Библиография: 7 названий.

За последние десятилетия ревматизм, как и многие другие болезни, заметно изменил свое лицо. Клиницисты единодушно отмечают увеличение процента латентных форм его. Первично-латентный ревматизм нередко просматривается, и больные оказываются под наблюдением врача в периоде сформированного порока сердца, осложненного недостаточностью кровообращения [3]. Однако гораздо чаще, как указывает Р. Г. Межебовский (1965), ревматический процесс принимает латентное течение после перенесенного острого или подострого процесса — так называемый «вторично-латентный ревматизм» [3].

Диагностика латентного ревматизма чрезвычайно трудна, а иногда и невозможна [1, 5]. Критерии достоверной диагностики ревматизма Джонса — Киселя — Нестерова при латентном его течении неприемлемы. Были попытки разработать специальные критерии для его диагностики в условиях поликлиники и диспансерного наблюдения [5].

В целях изучения клиники современного ревматизма и выяснения частоты латентного и олигосимптомного течения его мы проанализировали материалы обследования 360 больных ревматизмом и пороками сердца (женщин — 257, или 71,4%; мужчин — 103, или 28,6%), находившихся на лечении в клинике за последние 3 года. При оценке степени активности ревматизма пользовались его общепринятой классификацией и дополнениями о вариантах течения [4]. Согласно этим дополнениям мы рассматривали латентное течение ревматизма как вариант манифестируемости процесса и учитывали как степень активности процесса, обозначая ее знаком 0—I. При этом полностью скрытое (практически асимптомное) течение в случае беспричинной, немотивированной недостаточности кровообращения у молодых лиц определяли как подвариант 0—IА, а относительно скрытое (олигосимптомное) течение при отсутствии клинических проявлений по отдельным биохимическим показателям (слабо положительные пробы) — как подвариант 0—IБ. В остальных случаях различали три общеизвестные степени активности клинически манифестируемого ревматизма.

Мы пытались определить тип течения ревматизма в зависимости от реакции на лечение. С учетом данного критерия выделяли три варианта течения: первый — гиперреактивный, быстро купируемых, когда признаки активности процесса сохранялись не более 4 нед; второй — обычной длительности или эуреактивный, продолжительностью от 4 до 6 нед; третий — гипореактивный, когда признаки активности ревматизма сохранялись дольше 6 нед. В последнем случае речь шла о затяжном ревматизме [4].

Из 360 больных ревматизмом в активной фазе 27 (7,5%) были в возрасте до 20 лет, 208 (57,8%) — от 21 до 40 лет, 96 (26,7%) — от 41 до 50 лет, 27 (7,5%) —